

Pathologie der MAMMA-I.



dr. med. habil. Andras Kiss
Ph.D., D.Sc.

Semmelweis Universität,
Budapest
II. Institut für Pathologie

Frühlingsemester
2017/2018

BOTSCHAFT

Die Brust ist mit Haut bedeckt und enthält Dukten, Stroma und Azini.

Kontur from rund zu flach ist eine Funktion des Fettgewebes und Cooperschen Ligamenten.
Brust reagiert auf endokrine Stimuli.

Brustkrebs meistens entwickelt sich in Duktuli von mikroskopischen Grösse.

Brustkrebs kann zu Lymphknoten metastasieren, dann es geben unterschiedliche Wege des Tumorprogressions.
Hormonen können den Wachstum kontrollieren !

Szirrhöses Brustkrebs ist solche Entität wo Fibrose dominiert über duktale Zellen in dem Stroma. Es ist ein hartes Karzinom.
Kalzium Depositen können die Tumoren zeigen.

ANATOMIE

„Modifizierte“ Schweißdrüse

Zwei Teilen:

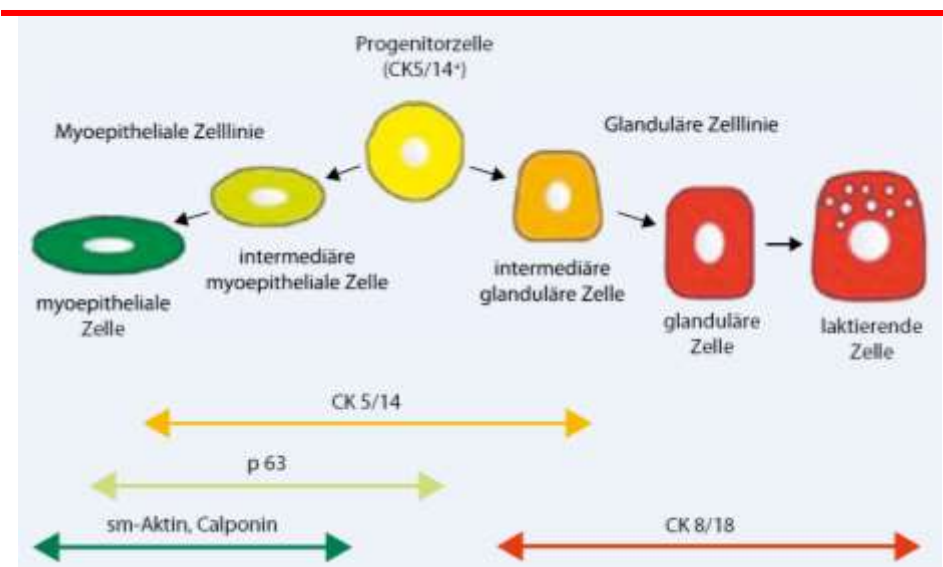
1. Terminale duktale lobulare Einheit (TDLU)

2. Grosses duktales System

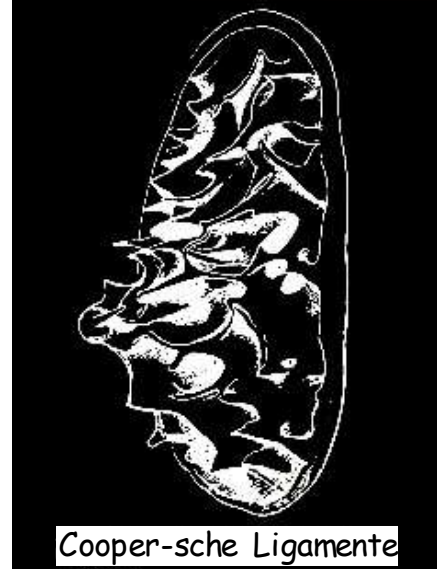
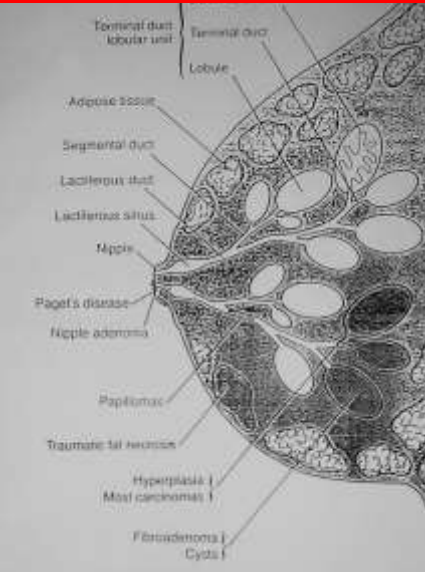
Speziales, zwei-schichtiges Epithelium

innere Schicht - epitheliale Zelle

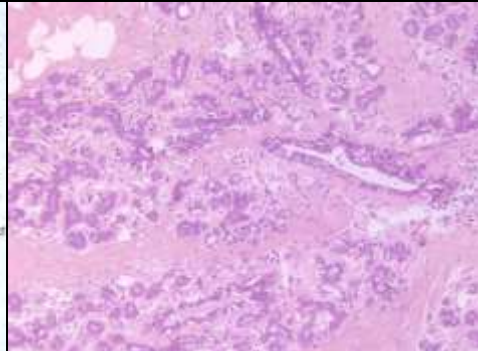
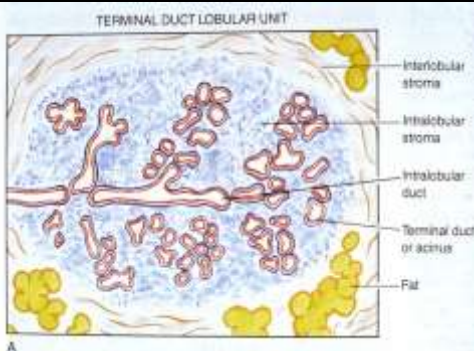
ausserne Schicht – myoepitheliale Zelle

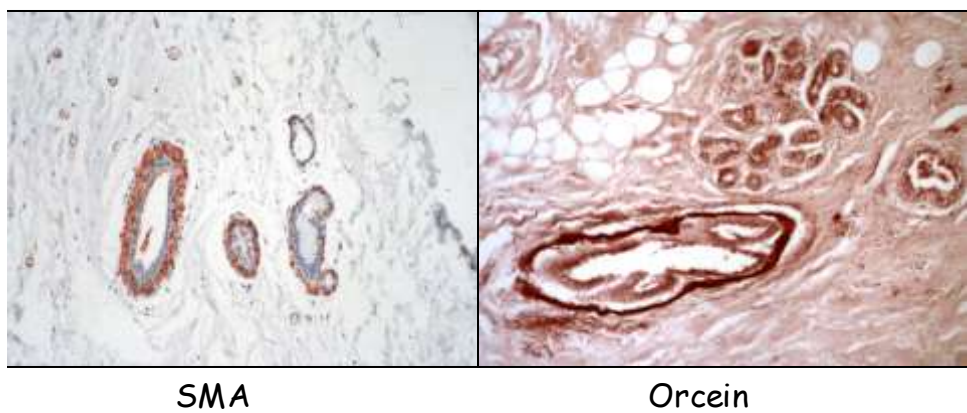


Pathologie 2009;30:6-12, Böcker W et al



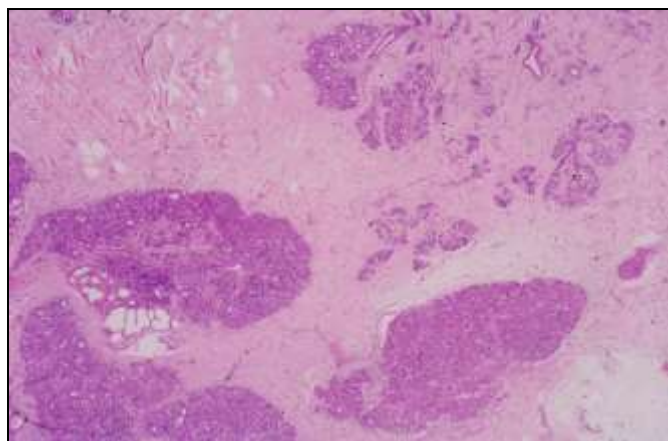
Cooper-sche Ligamente





SMA

Orcein



UNTERSUCHUNG

SELBST-UNTERSUCHUNG: Brust und Axilla

KLINISCHE UNTERSUCHUNG

Palpation: Brust und Axilla

Radiologisches Verfahren (Imaging):

Mammographie

US

Galaktographie

Thermographie/ heute: Thermologie

MRI, PET

CT (Metastase)

Neulich: Endoskopie - endoskopische OP

The **Sister Mary Joseph nodule** or more commonly **node**, also called **Sister Mary Joseph sign**, refers to a palpable nodule bulging into the umbilicus as a result of metastasis of a malignant cancer in the pelvis or abdomen.

Gastrointestinal malignancies account for about half of underlying sources (most commonly gastric cancer, colonic cancer or pancreatic cancer, mostly of the tail and body of the pancreas^[1]), and men are even more likely to have an underlying cancer of the gastrointestinal tract. Gynecological cancers account for about 1 in 4 cases (primarily ovarian cancer and also uterine cancer). Nodules will also, rarely, originate from appendix cancer Pseudomyxoma peritonei. Unknown primary tumors and rarely, urinary or respiratory tract malignancies cause umbilical metastases.^[2] How exactly the metastases reach the umbilicus remains largely unknown. Proposed mechanisms for the spread of cancer cells to the umbilicus include direct transperitoneal spread, via the lymphatics which run alongside the obliterated umbilical vein, hematogenous spread, or via remnant structures such as the falciform ligament, median umbilical ligament, or a remnant of the vitelline duct. Sister Mary Joseph nodule is associated with multiple peritoneal metastases and a poor prognosis.

The primary malignancy in women is usually ovarian, endometrial, gastric, or pancreaticobiliary tree cancer.

Sister Mary Joseph's nodule is significant because it may be the first and only presenting sign of malignancy, as has been demonstrated in about 30% of cases

Es hat nichts zu tun mit Brustkrebs !

Sister Mary Joseph Dempsey (born Julia Dempsey; 1856-1939) was the surgical assistant of William J. Mayo at St. Mary's Hospital in Rochester, Minnesota from 1890 to 1915. She drew Mayo's attention to the phenomenon, and he published an article about it in 1928. The eponymous term Sister Mary Joseph nodule was coined in 1949 by Hamilton Bailey.

St. Agatha



Tiepolo

[Circle of Andrea Vaccaro \(Naples 1604-1670\)](#)Caitlin Karolczak:
"The Martyrdom of St. Agatha"

UNTERSUCHUNG

Time to take your breasts
into your own hands

How to examine your breasts

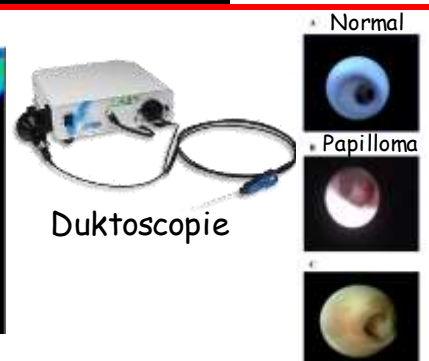
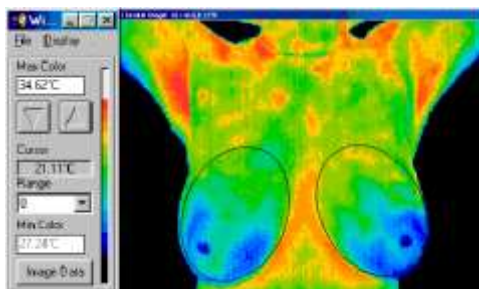
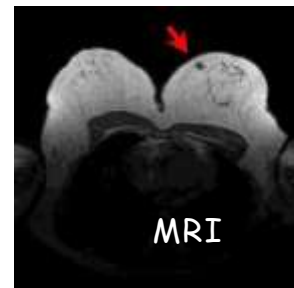
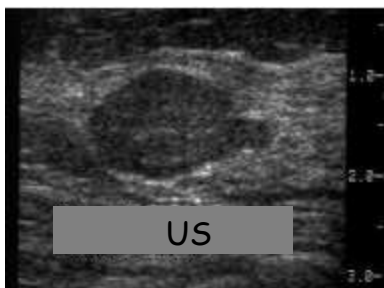


UNTERSUCHUNG



- **Mammographie - Radiologie behilfte Draht-Markierung - Operation - Spezimen Mammographie (Suche nach Mikrokalzifikation die Veränderung zu bestätigen) an der Pathologie Abteilung:**

- HISTOLOGIE
 - Immunhistochemie
 - Molekularpathologie (HER-2)



Pathologische Methoden:

FNAB - fine needle aspiration biopsy
(Zytologie/Atypie)

Stanzenbioptat (core biopsy)
(Histologie – Struktur !!; Invasion !!)

Schnellschnitt: meistens: Wache LK: „sentinel lymph node“: + oder negativ ?

Spezimen Mammographie – Aufarbeitung der an Schirm detektierten Lasionen

Formalin-fixiertes Gewebe:

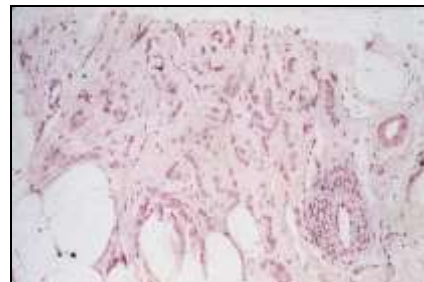
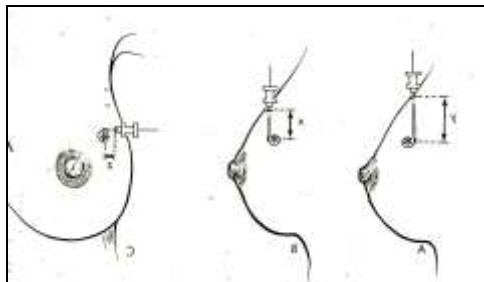
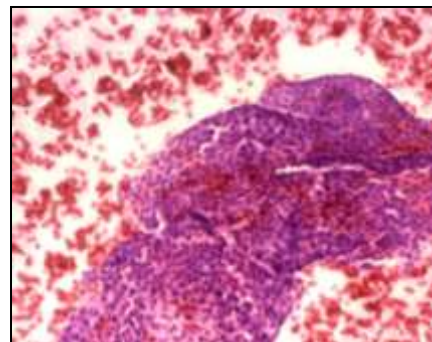
definitive Diagnose
prognostische/predictive Pathologie !!

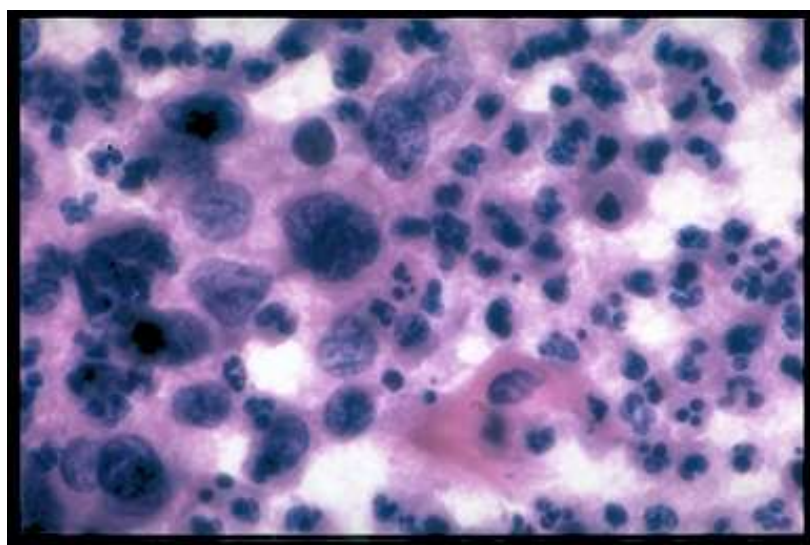
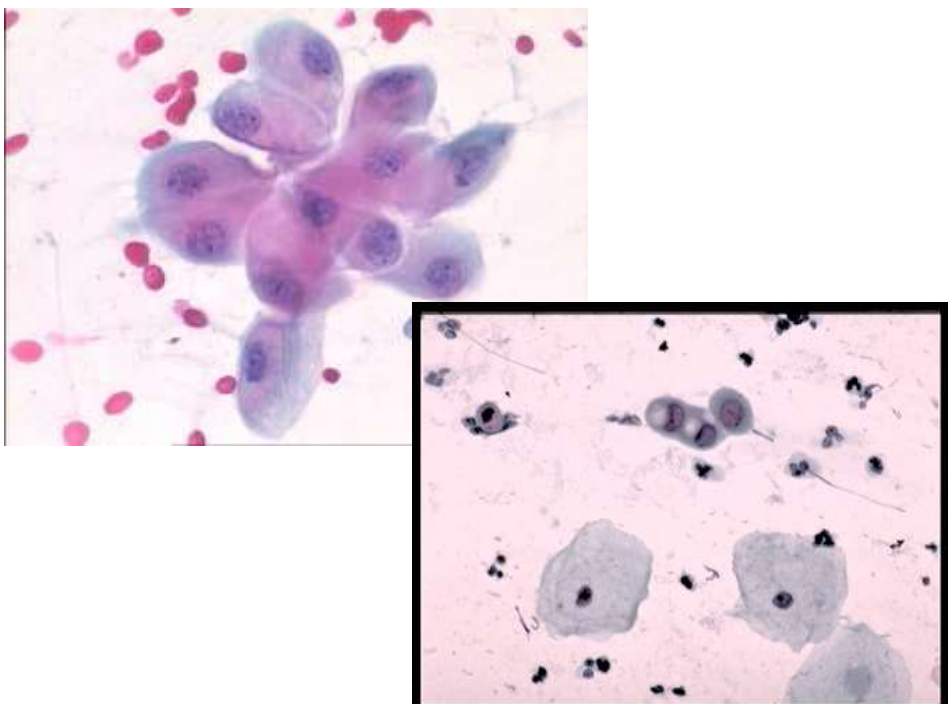
Andere, mit immer grösserer Bedeutung:

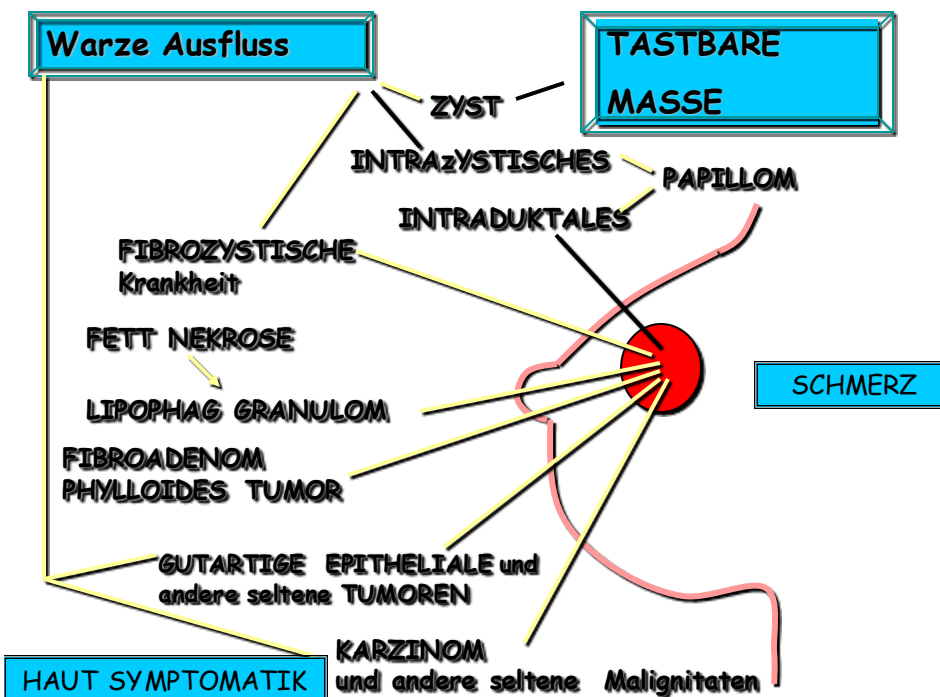
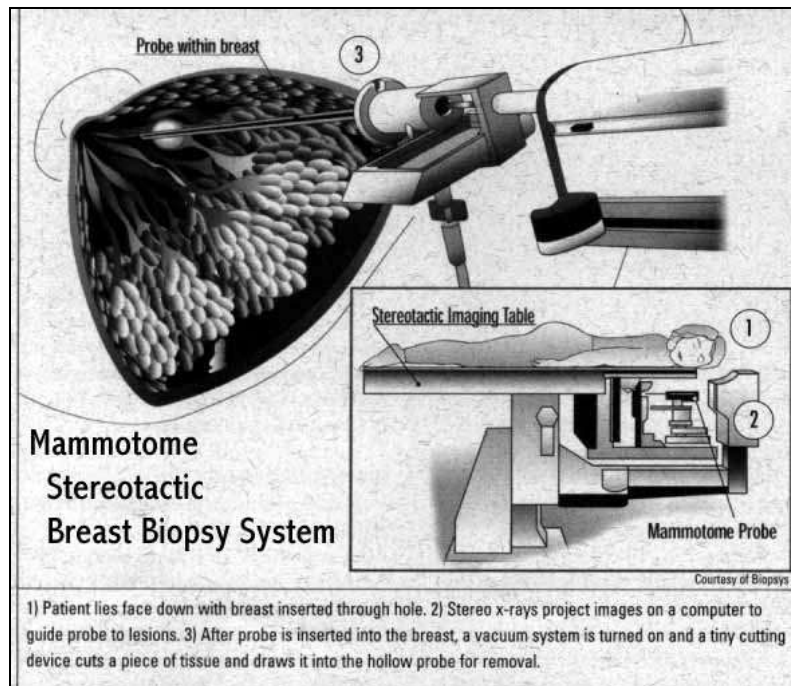
molekulare Pathologie

FISH, CISH

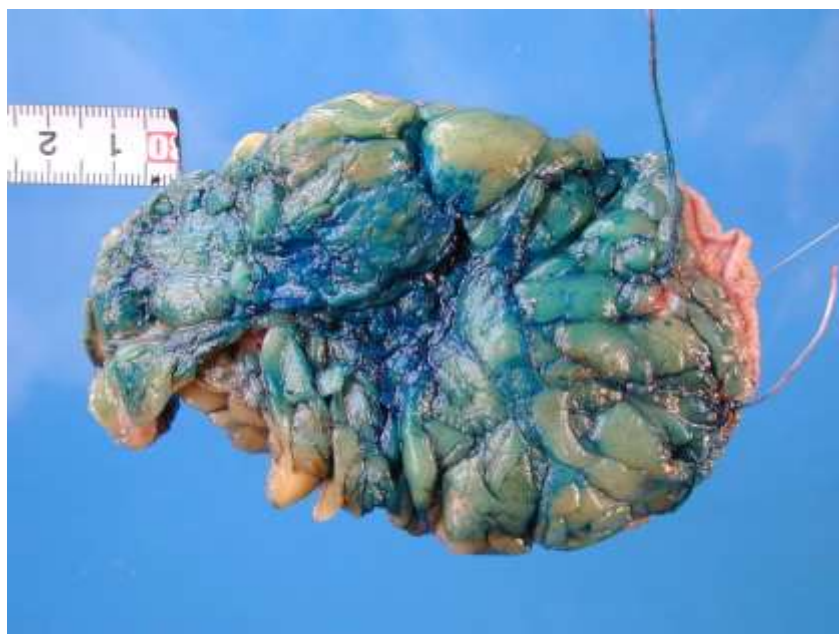
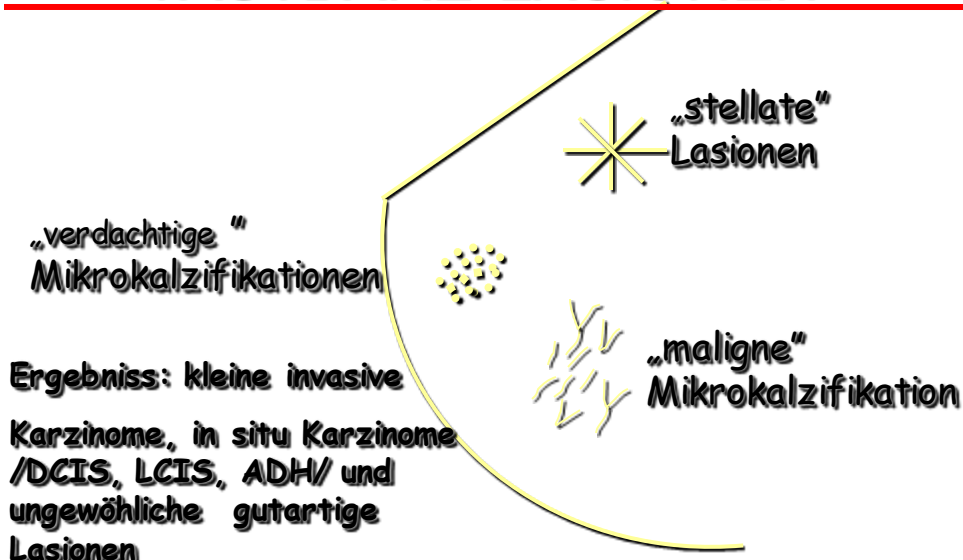
komplex mRNS Expr.-Muster: [Oncotype DX](#), [Mammaprint](#)

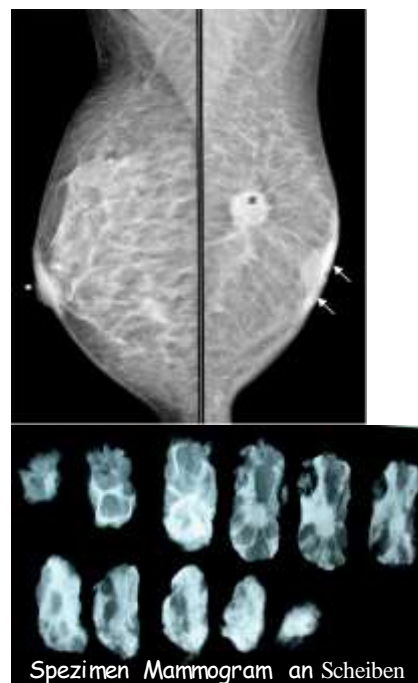
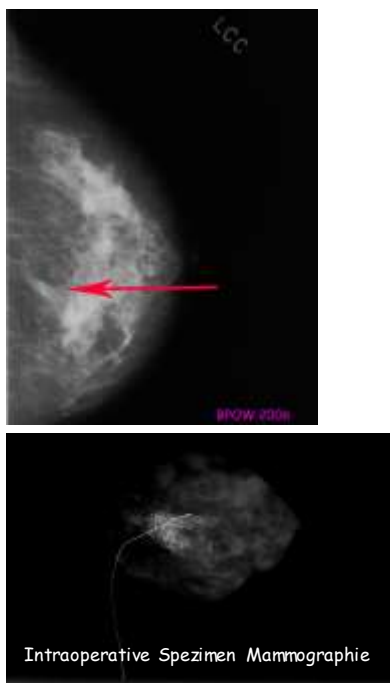
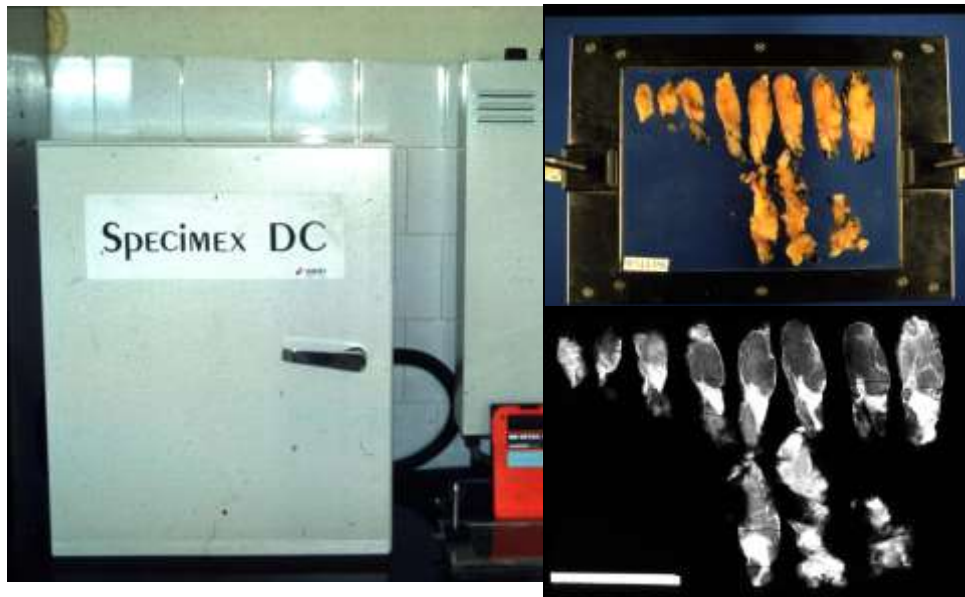






IN SCREENING: NICHT-TASTBARE LASIONEN

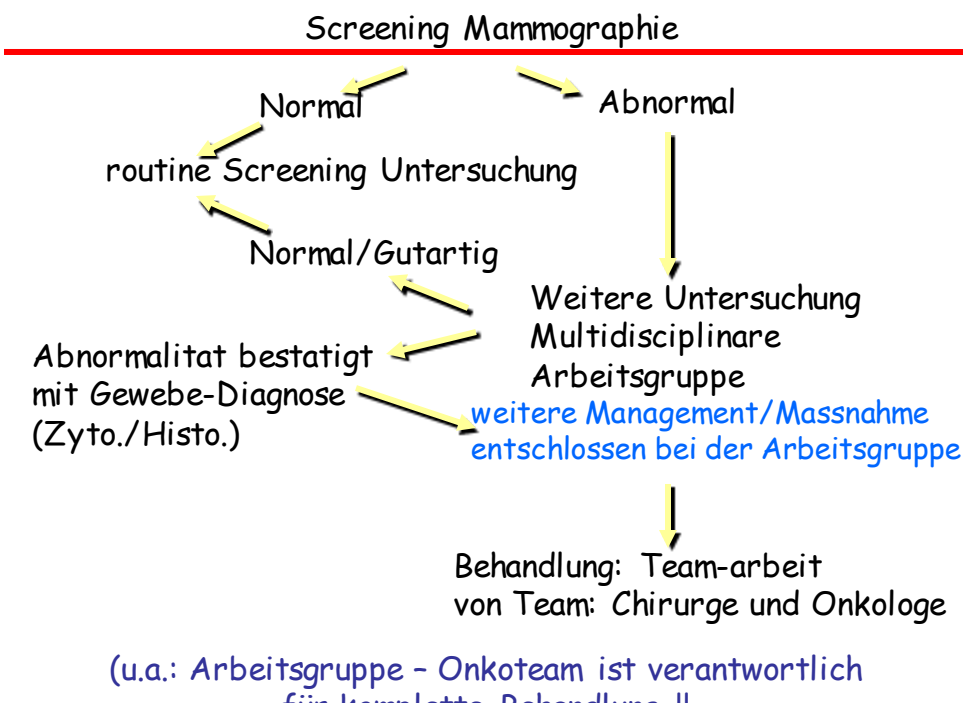


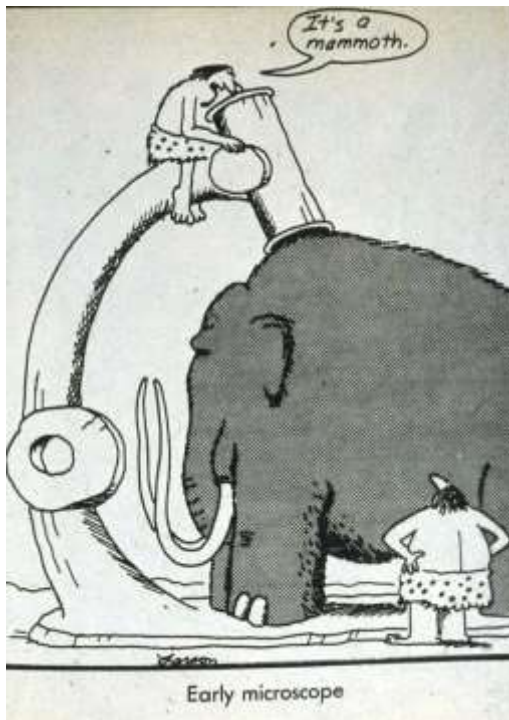


Dreifache Untersuchung

- Physikale Untersuchung (Palpation)
- Imaging - Bildgebende Verfahren
- Aspirationszytologie (FNAB)/Stanze
Biopsie

Eindeutige Ergebnisse lassen die optimale Behandlung bestimmen !!





Early microscope

routinely
to have
esthetic,
alignant.
I suspect
anthology
within 10
want to

1 consti-
psycholo-
one up
re are 20
cer and
id identi-
or deter-
degree of
estment.
st medi-
ly by the
listinctly

isolation. The taboo itself sprang from the common conception of breast

medical politics. The ground-breaker was the 1971 self-help manual *Our Bodies, Ourselves* by the Boston Women's Health Collective. Written by a group of notably "difficult" women, it argued a woman's right to be involved in major decisions about her body, her health and her life.

So aghast was the American medical establishment that members of the collective were charged with practising without a licence – specifically,

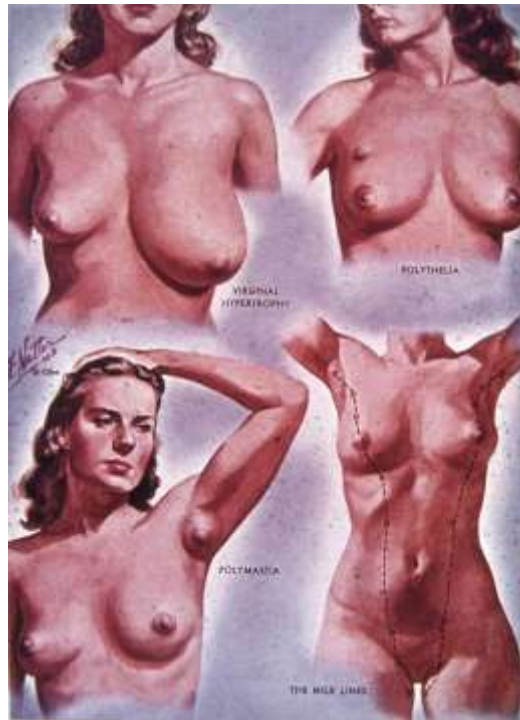
The way it used to be: a how-to-do-it illustration from an 18th-century medical textbook

Entwicklungsstörungen und Hypertrophien

- Polythelie (überzählige Brustwarzen),
Polymastie (überzählige Brustdrüsen)
- Infantile Makromastie (Hexenmilch)
- Makromastie
 - Pubertätshyperplasie - bildet sich **nicht** zurück
 - Graviditätshyperplasie - bildet sich zurück
- Gynäkomastie (Fibrosis mammae virilis)
erhöhte Östrogenkonzentration oder Rezeptorsprechbarkeit
- Lipomastie

Entwicklungsstörungen und Hypertrophien

Supranumerische Brust, Warze oder
Areola
Hypertrophie
Assymetrie
Invertierte Brustwarze



Entzündung der Mamma

-
- Puerperale Mastitis
 - Phlegmonöse Mastitis
 - Nicht-puerperale Mastitis
 - periduktale Mastitis
 - Pasmazellmastitis
 - Brust ist gerötet, druckdolent, überwärmst, Fieber, Schüttelfrost

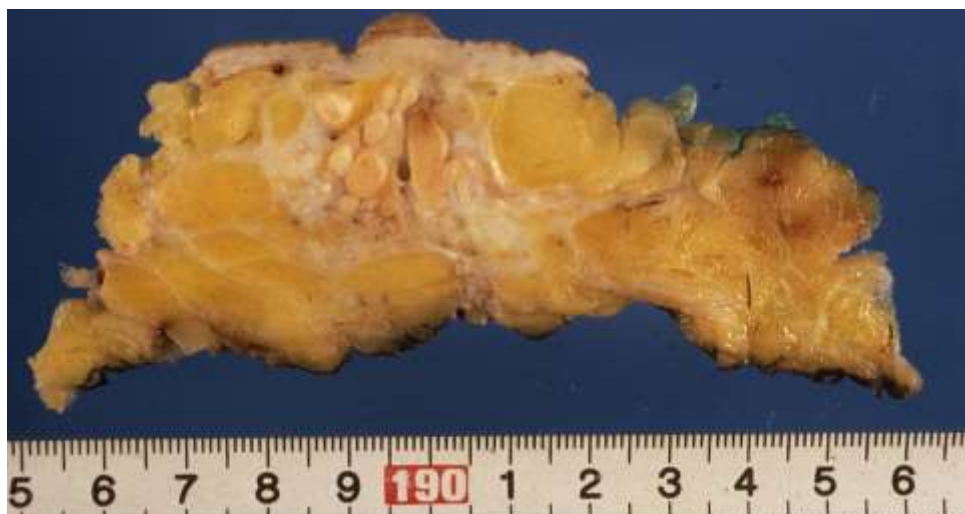
Entzündliche LASIONEN

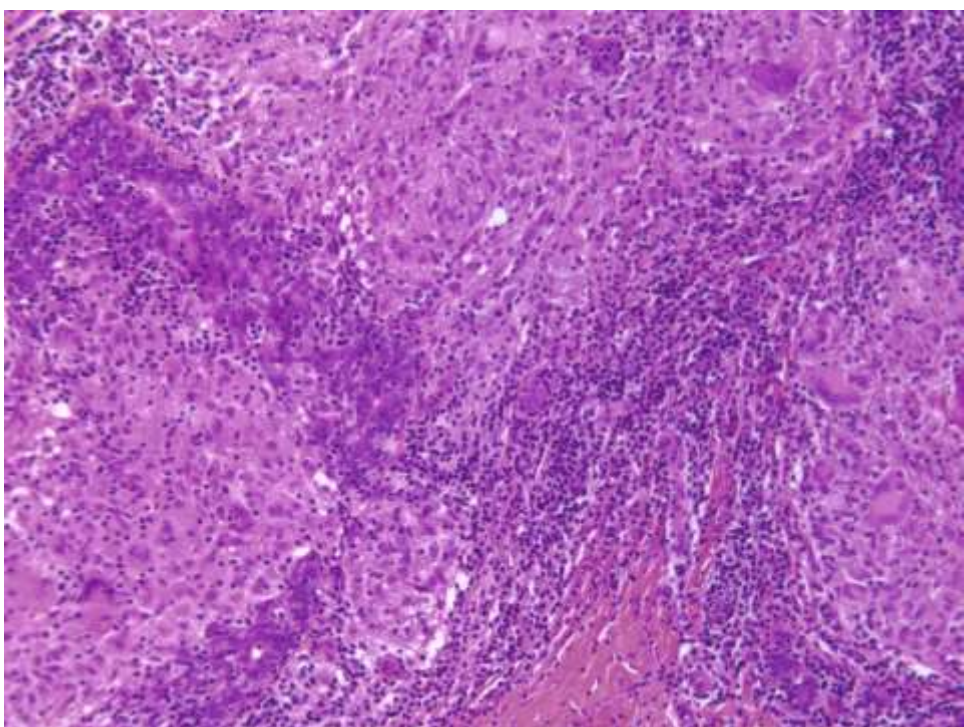
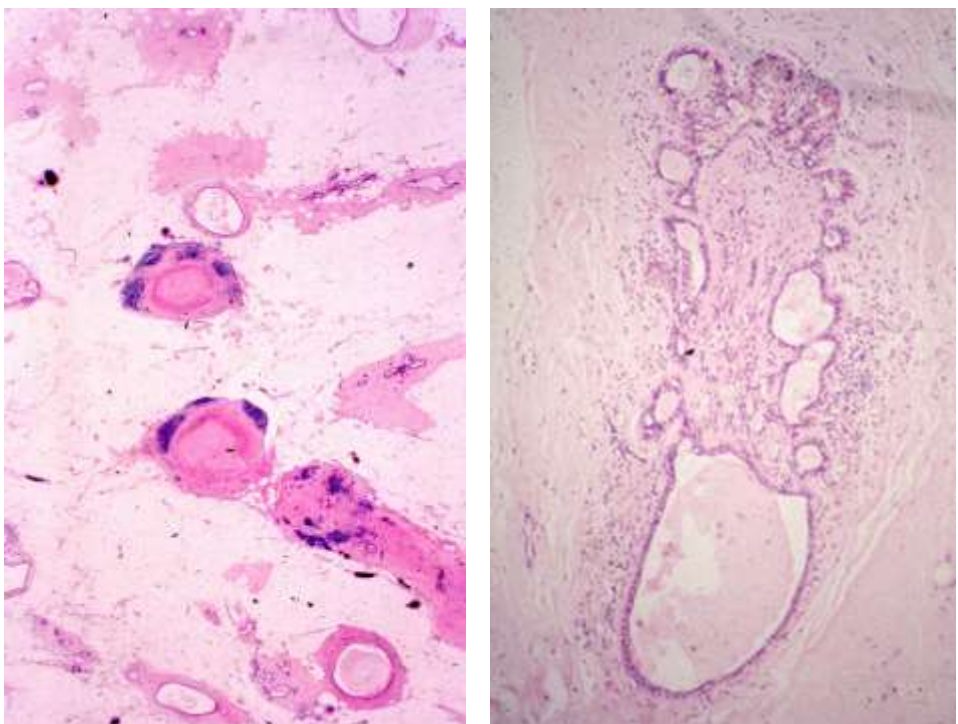
**Plasma Zell Mastitis - Duktus Ektasie
(Es kann ein Karzinom imitieren wegen
der Retraktion der Brustwarze)**

**Akute Entzündungen während der
Laktation**

Granulomatöse Mastitis

**(idiopathisch, TBC,
Silikon /IMPLANT!! / usw.)**





LIPOPHAG GRANULOM

Trauma

Fibrozystische Krankheit

Nach Behandlung maligner Tumoren

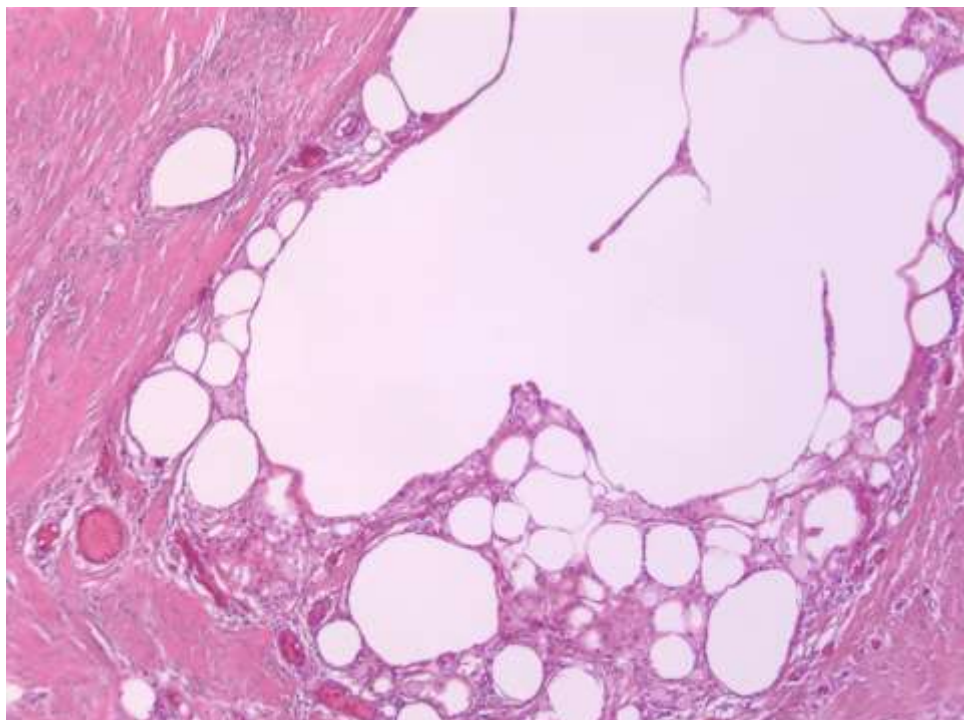
Charakteristik:

schaumige Makrophagen

Riesenzelle

Entzündungszelle

Es heilt sich mit Fibrose



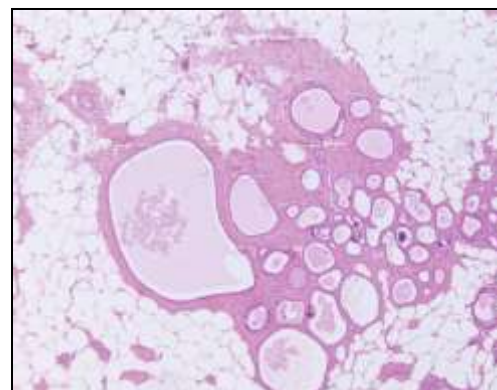
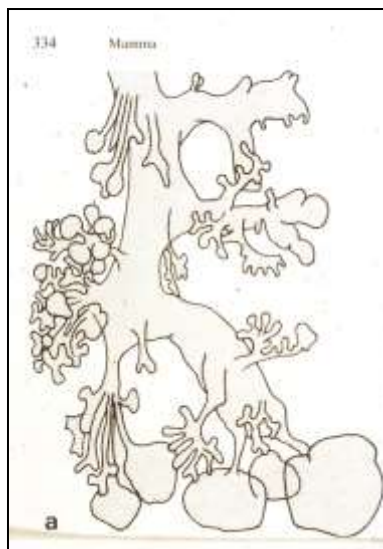
Tumoren und tumorartige Veränderungen der Mamma

• MASTOPATHIE – 25-46 Jahre

- **Mammadysplasie
Mastopathia fibrosa cystica
(cystic disease)**

duktale Ektasie, Fibrosen des inter- und intralobulären Bindegewebes, Adenose (Proliferation des Gangepithels)

- **Etiologie: ??
Hormonimbalance zugunsten der Östrogene**



Gutartige Epitheliale Lasionen

Nicht proliferative Lasionen:

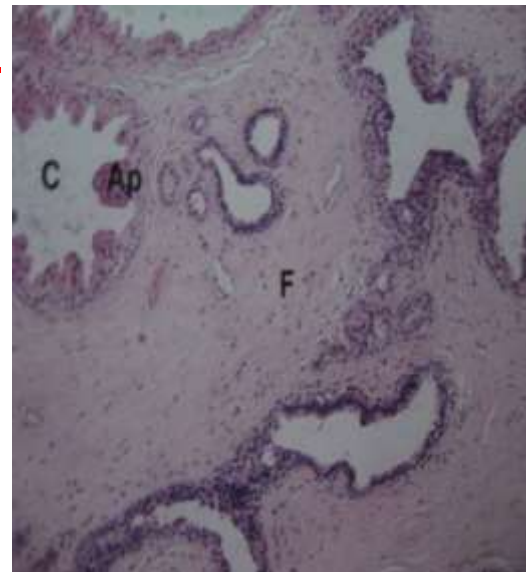
(fibrozystische Krankheit)

- zystische Veränderungen

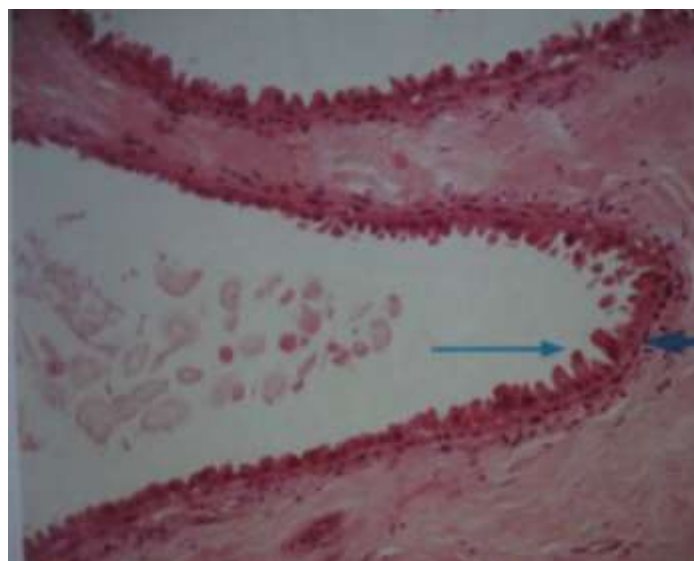
- Fibrose

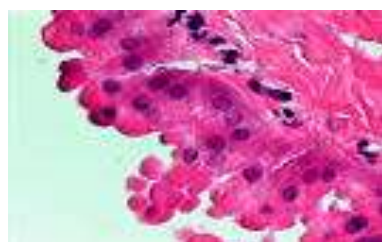
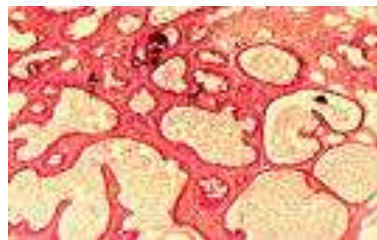
- apokrine Metaplasie

- Adenose



Apokrine Metaplasie





MASTOPATHIE

- Premenstruelles Spannungsgefühl
 - Anschwellen der Mammae
 - diffuse Verhärtungen oder Knoten
 - Sono-, Mammo- und Thermographie
 - FNAB - Feinnadelpunktion
- AspirationsZYTOLOGIE**
Sensitivität ~ 95 % !!!!
- “Core” Bioptat !!

Tumoren und tumorartige Veränderungen der Mamma

- Fibrös-zystische Mastopathie
- Sklerosierende Adenose

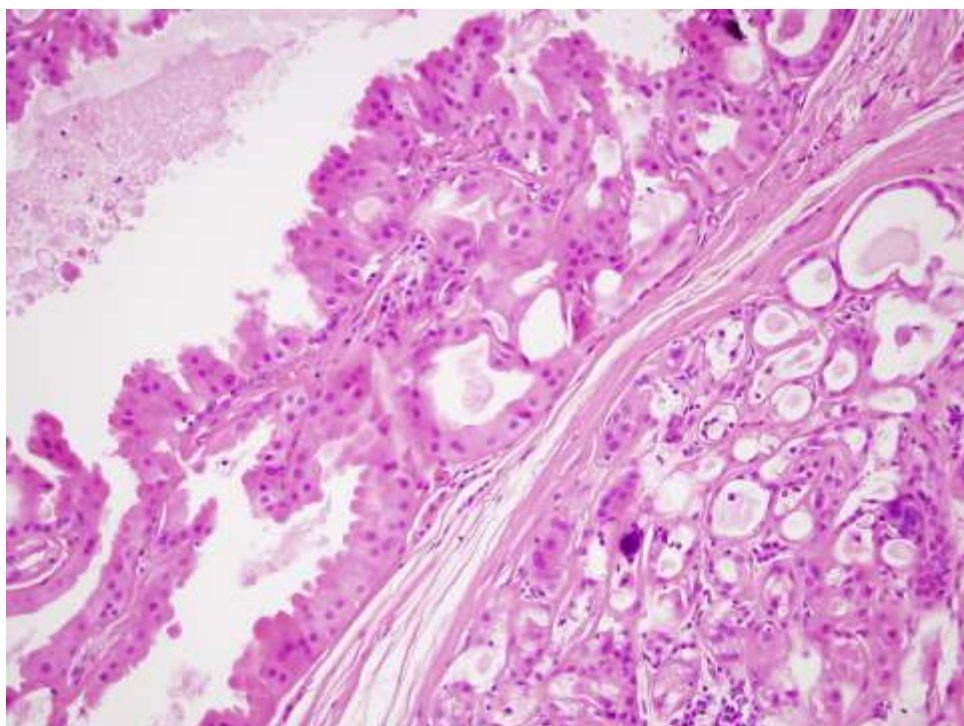
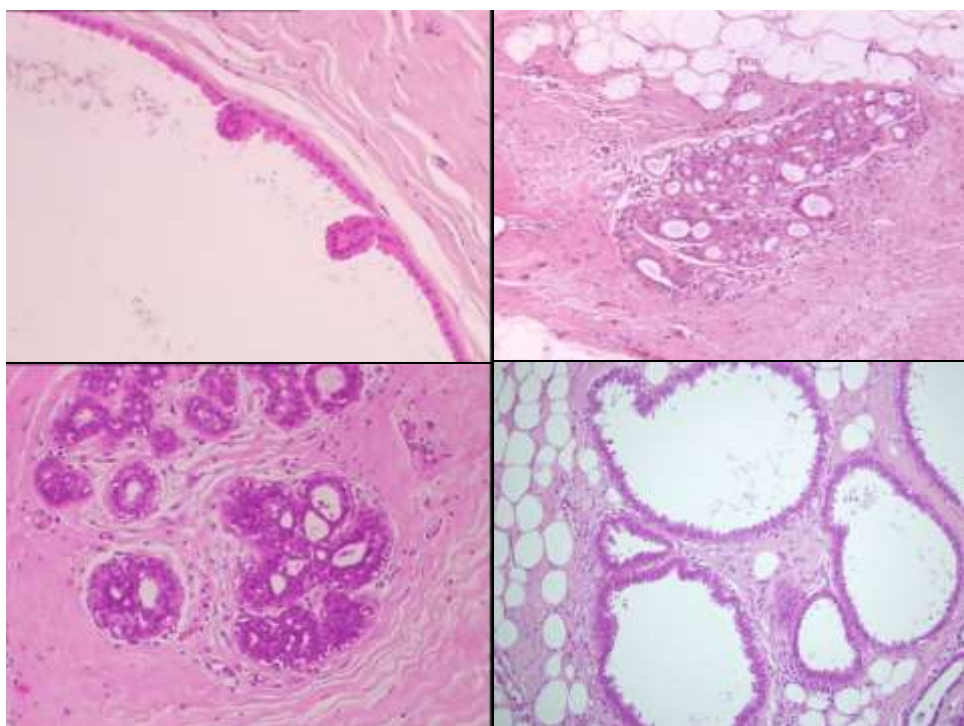
MASTOPATHIE

- Mastopathie Grad I. (70%)
ohne Epithelproliferation, kein erhöhtes Karzinomrisiko

Tumoren und tumorartige Veränderungen der Mamma

MASTOPATHIE

- Mastopathie Grad II. (20%)
mit Epithelproliferation, keine Atypien
gering erhöhtes Karzinomrisiko
 - Mastopathie Grad III. (10%)
mit Epithelproliferation, mit Atypien
erhöhtes Karzinomsrisiko
-
- zwei drittel der Mastopathien gehen mit Mikroverkalkungen einher



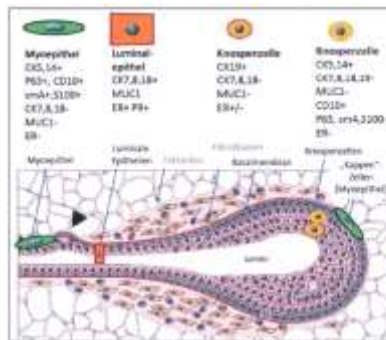


Abb. 1: Differenzierung, Zellbesatz eines Tumorzells (Stiel Blut zur Pubertät). (modifiziert nach Stemmer 2000)

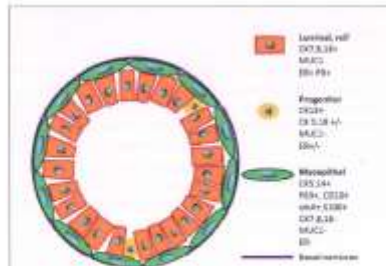


Abb. 2: Zellbesatz eines Gangs der terminalen Duktal-Lobulären Einheit (TDLE) der adulten Brustdrüse.

IAP, Bonn, 2014

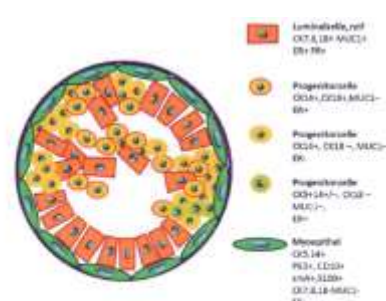


Abb. 4: Duktale Hyperplasie: Schema der zellulären Zusammensetzung der Proliferate

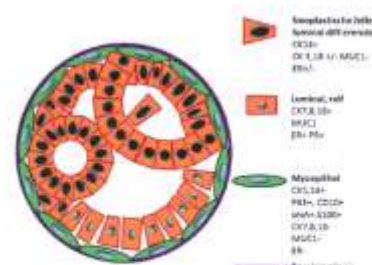


Abb. 5: Intradukale Low-grade-Morplose: Schema der zellulären Zusammensetzung der Proliferate im Grenzbereich zum normalen Epithel

Adenose

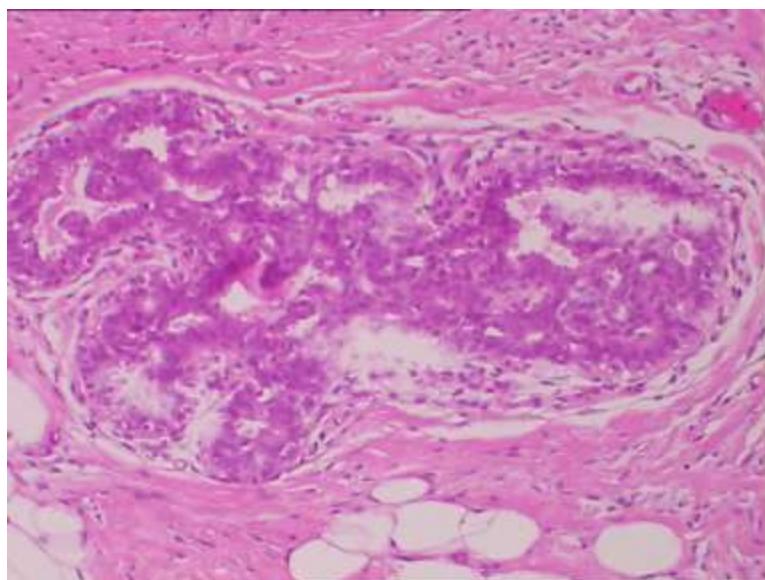
- Blunt duct Adenose – die Azini sind vergrössert aber mit normaler Struktur
- sklerosirende Adenose
- nodulare Adenose
- mikroglandulare Adenose

EPITHELIALE HYPERPLASIE = EPITHELIOSIS

duktale oder lobulare

typisch oder atypisch

Epitheliale Hyperplasie = EPITHELIOSIS



Proliferative Lasionen

mit Atypie

versus

ohne Atypie



Abb 3a: Duktale Hyperplasie (im Bereich eines papillären Papilloms)

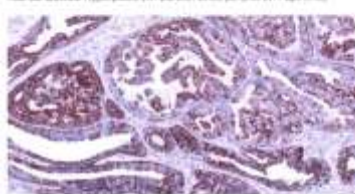


Abb 3b: Clinielle Hyperplasie: Typische insularartige Verteilung der CK14 positiven Karyozentren (Prgeserton-) Zellen

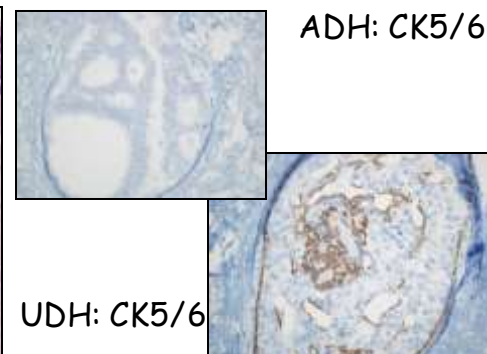
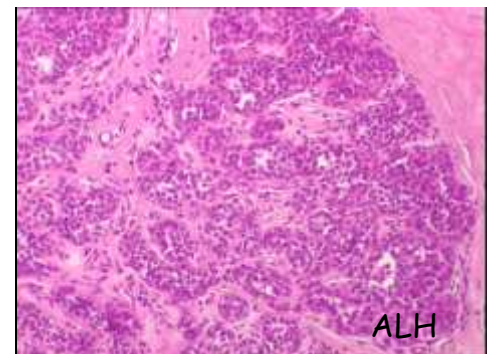
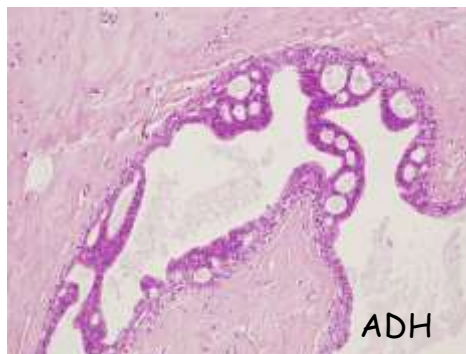
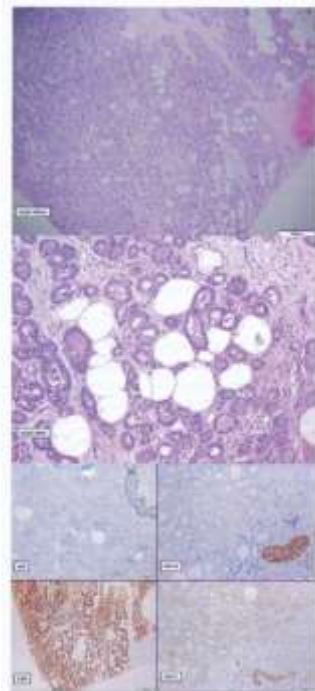


Abb 3c: Oxyphile Hyperplasie: CK14 positive Myoepithelen nur zur Gängenbegrenzung; Myoepithelen sind nicht an der intraluminären Proliferation beteiligt.

	Papillom	Papilläres DCIS	Gekapseltes papilläres Karzinom	Solid papilläres Karzinom
Architektur	meist plume, teils fibrosierte Papillen	verzweigte, schlanke Papillen	verzweigte, schlanke Papillen	solide Epithelproliferation mit zarten Papillen
Deckepithel	heterogene Zellproliferation, nicht atypisch, oft mit Metaplasie und Hyperplasie	monotone gleichförmige Proliferation, gering atypisch, keine Metaplasie	monotone gleichförmige Proliferation, gering atypisch, keine Metaplasie	monotone gleichförmige Proliferation, gering atypisch, neuroendokrine oder muzinöse Differenzierung
Orientierung der Kernachsen der Epithelen	zufällig	senkrecht auf Papillen	oft senkrecht auf Papillen	oft strömende Verbände, parallel zu Papillen
Myoepithelschicht der Papillen	erhalten, gelegentlich hyperplastisch	fehlt weitgehend	fehlt völlig	fehlt völlig
Myoepithelschicht der Kapsel	erhalten	weitgehend erhalten	weitgehend fehlend	weitgehend fehlend
Epithel angrenzenden Gängen	in oft hyperplastisch	oft DCIS	gelegentlich DCIS	gelegentlich DCIS

Mikroglandulare Adenose

Die mikroglanduläre Adenose ist zumeist ein mikroskopischer Zufallsbefund, kann aber auch, wie hier, einen Tastbefund hervorrufen. Sie tritt in allen Lebensaltern jenseits der Pubertät auf, am häufigsten zwischen dem 50. und 60. Lebensjahr. Wegen der fehlenden Myoepithelschicht und dem Einwachsen in das Fettgewebe besteht die Gefahr der Verwechslung mit einem infiltrierend wachsenden Karzinom, auch wenn der Atypiegrad gering ist. Der vorliegende Fall ist ebenfalls nicht untypisch, da die Läsion in der Nachbarschaft eines Karzinoms auftritt. Einige Studien haben identische genetische Läsionen in der mikroglandulären Adenose und dem assoziierten Karzinom berichtet. Karzinome können in einer mikroglandulären Adenose entstehen, gelegentlich bestehen Ähnlichkeiten zu einem Azinuskarzinom. Auch wenn die Läsion selbst benign ist, kommt ihr also eine Indikator- und wahrscheinlich auch Vorläufer Eigenschaft zu, weswegen bei Vorliegen in der Stanzbiopsie wie bei einer B3 Läsion eine komplettene Herdenentfernung angestrebt werden sollte.

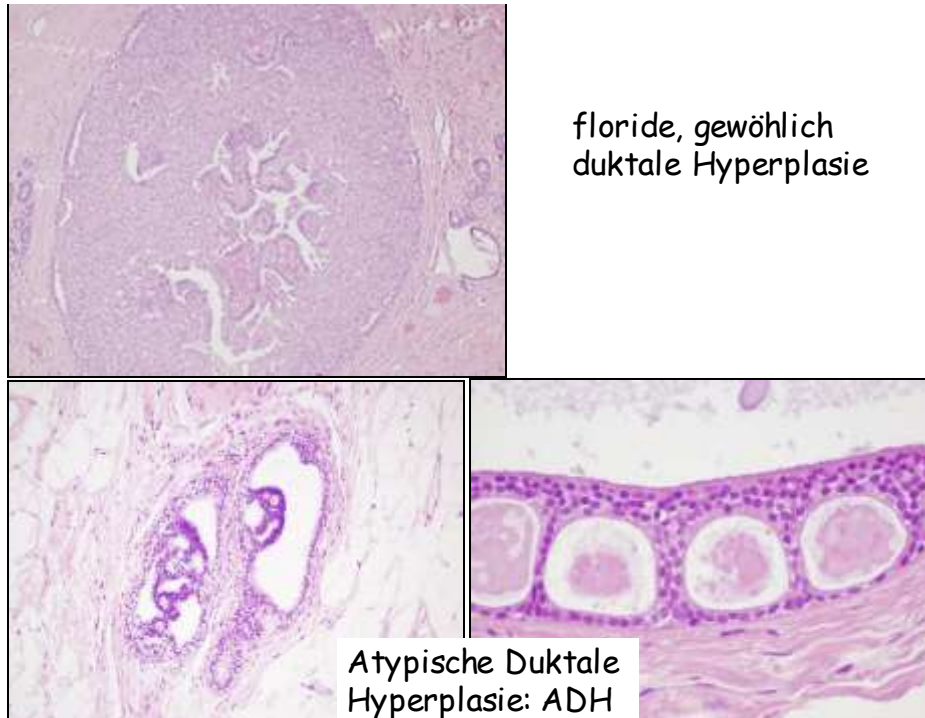


ADH

ADH: CK5/6

FEA

UDH: CK5/6



ANDERE GUTARTIGE TUMOREN

EPITHELIAL:

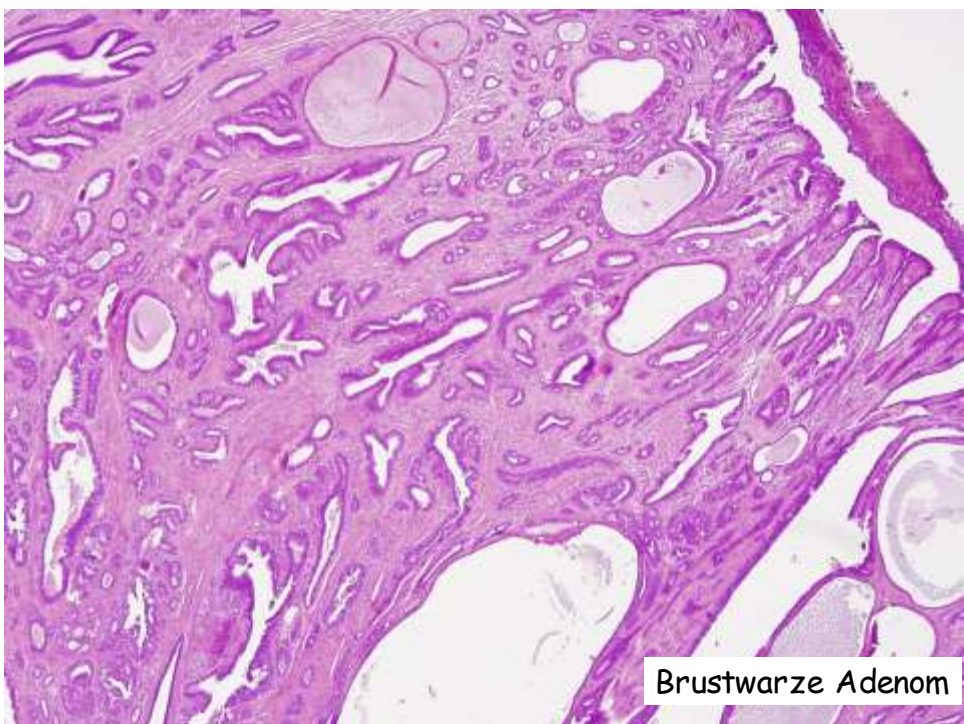
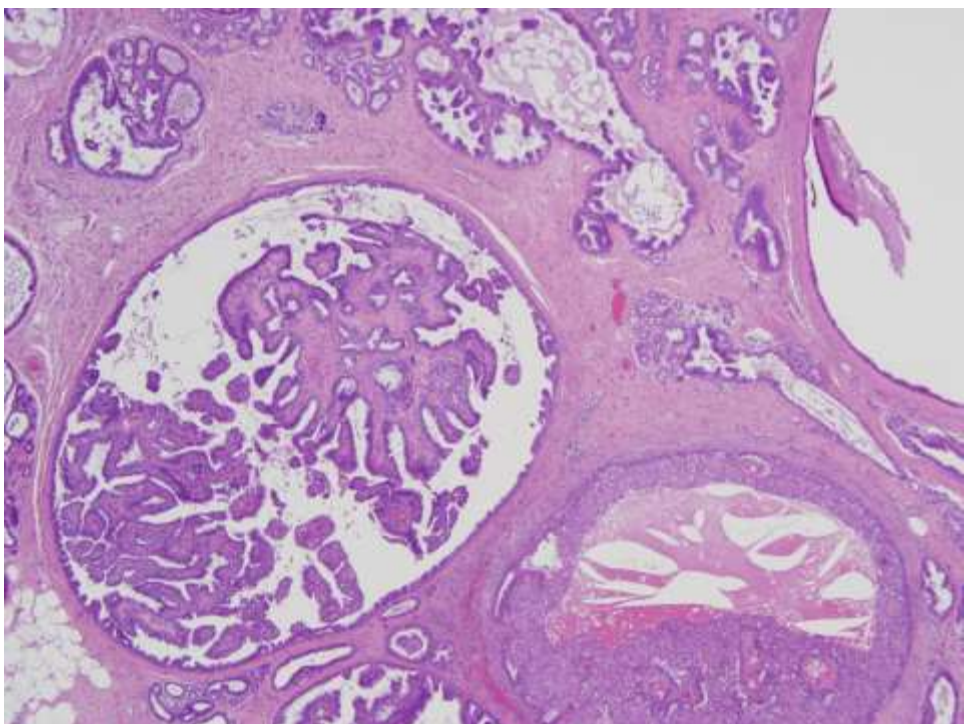
- Papillom
- Brustwarze Adenom
- (florid Papillomatose, erosive Adenomatose)
- Tubulares Adenom
- „Lactating“ Adenom
- Haut-appendix Tumoren, usw.

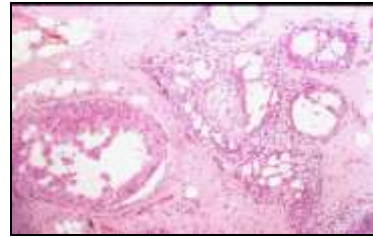
ANDERE:

- Lipom
- Granular-Zelliger Tumor
- Hamangiom

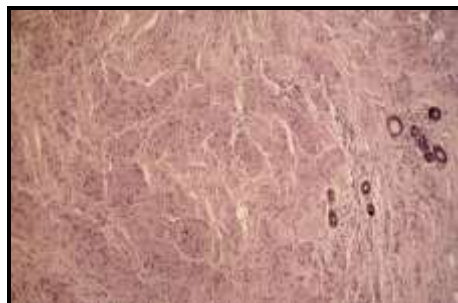
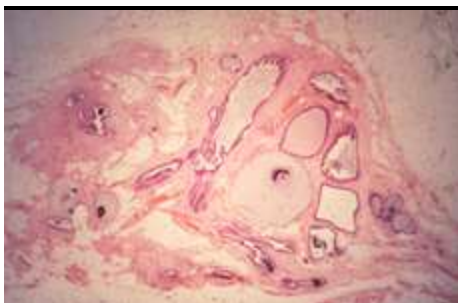
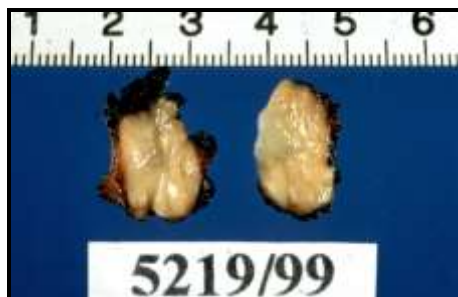
	Papillom	Papilläres DCIS	Gekapseltes papilläres Karzinom	Solid papilläres Karzinom
Architektur	meist plumpe, teils fibrosierte Papillen	verzweigte, schlankie Papillen	verzweigte, schlankie Papillen	solide Epithelproliferation mit zarten Papillen
Deckepithel	heterogene Zellproliferation, nicht atypisch, oft mit Metaplasie und Hyperplasie	monotone gleichförmige Proliferation, gering atypisch, keine Metaplasie	monotone gleichförmige Proliferation, gering atypisch, keine Metaplasie	monotone gleichförmige Proliferation, gering atypisch, neuroendokrine oder muzinöse Differenzierung
Orientation der Kernachsen der Epithelien	zufällig	senkrecht auf Papillen	oft senkrecht of Papillen	oft strömende Verbände, parallel zu Papillen
Myoepithelschicht der Papillen	erhalten, gelegentlich hyperplastisch	fehlt weitgehend	fehlt völlig	fehlt völlig
Myoepithelschicht der Kapsel	erhalten	weitgehend erhalten	weitgehend fehlend	weitgehend fehlend
Epithel angrenzenden Gängen	in oft hyperplastisch	oft DCIS	gelegentlich DCIS	gelegentlich DCIS





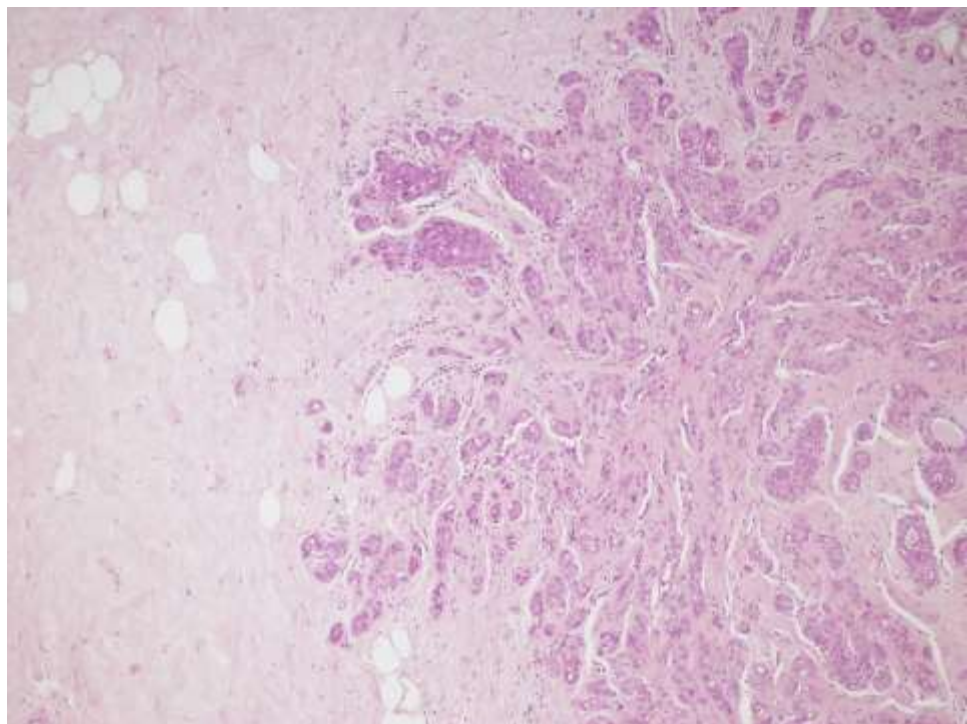


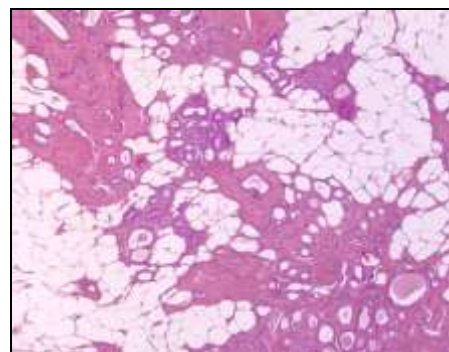
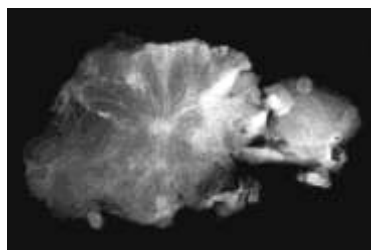
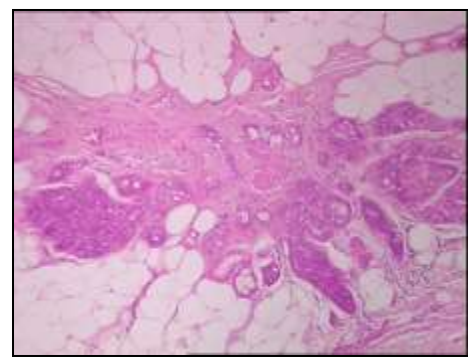
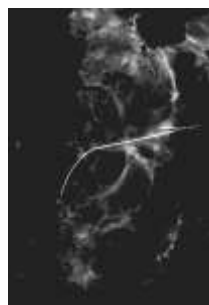
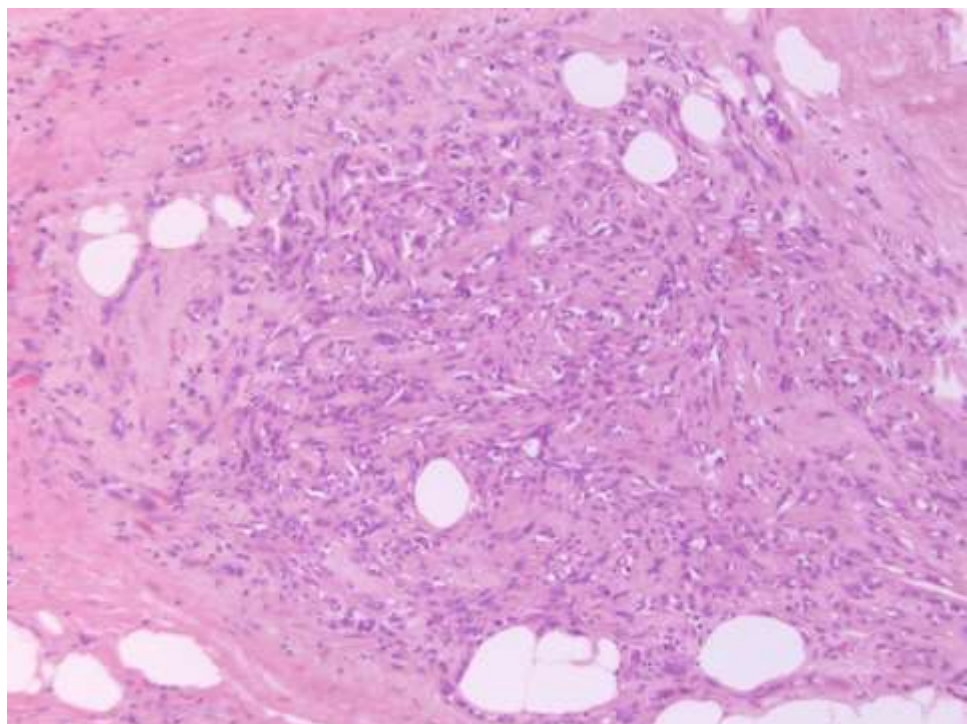
Juvenile Papillomatose

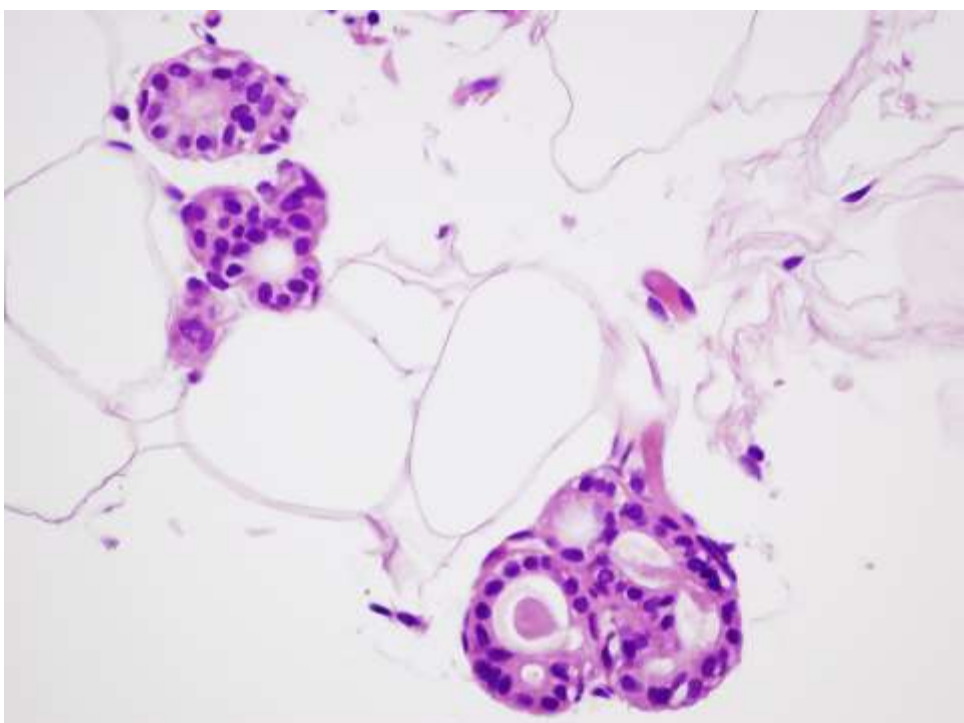
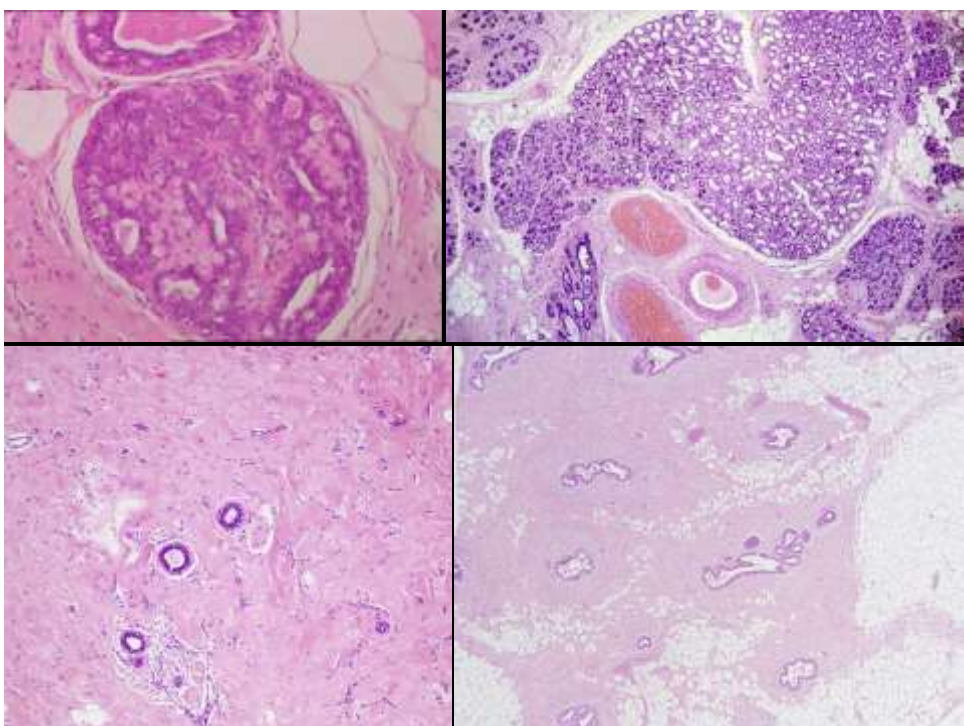


SKLEROsiERENDE LASIONEN

- Sklerosierende Adenose
- Radial scar (Narbe) und Komplex Sklerosierende Läsion (CSL)







ZYSTEN

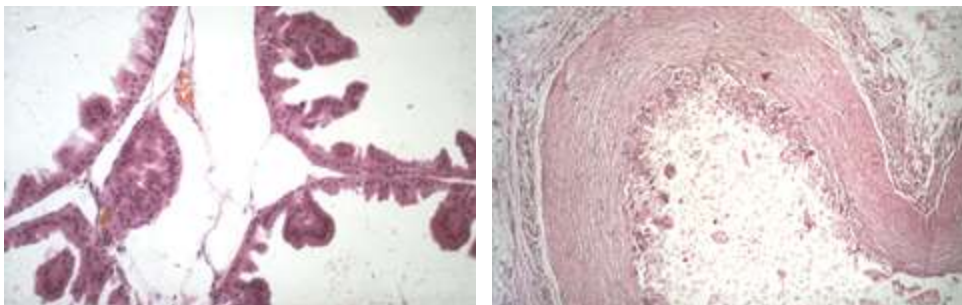
am häufigsten in Rahmen der fibrozystischen Krankheit

Herkunft: Tension oder Retention

Epitheliale Auskleidung: ja oder nein
(Pseudozyst)

Papillarer Tumor kann in der Läsion entstehen
(Intrazystisches Papillom)

spezielle Form: Galaktokele
(Okklusion grösseres Duktus ... Dilatation...
Ruptur...Entzündung ...Abszess kann entstehen)



GUTARTIGE TUMOREN

- **SOLITÄRZYSTEN**
 - schneller Wachstum
 - Differenzialdiagnose von Fibroadenom und Mammakarzinom!
- **INTRADUKTALES PAPILLOM**
- **PAPILLOMATOSE**
 - Schichtung des Epithels (Drüsenepithel - Myoepithel) ist erhalten
 - erhöhtes Entartungsrisiko, serös-blutige Sekretion der Mamma



GUTARTIGE TUMOREN

- **FIBROADENOM: Alter: 20 – 35 Jahre**
 - der häufigste gutartige Mammatumor
 - Mischtumor aus epithelialen und mesenchymalen Lobusanteilen !
 - peri und intrakanalikuläres Fibroadenom

- Variant: **Riesen (giant) oder juveniles Fibroadenom**

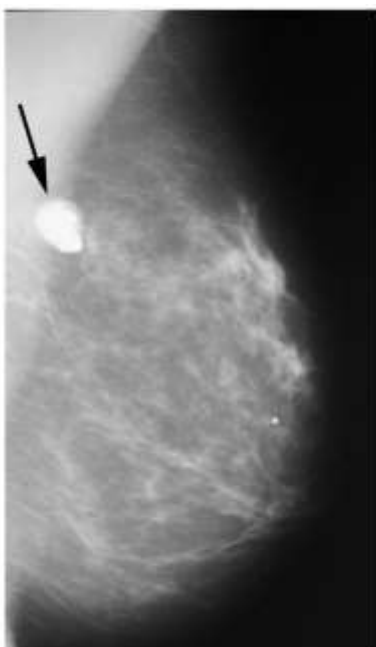
Maligner Tumor entwickelt in Fibroadenom: selten

(wenn ja, dann meistens lobuläres Karzinom, aber DCIS, IDC kann es infiltrieren)

- **Sonderform: Phylloides tumor**

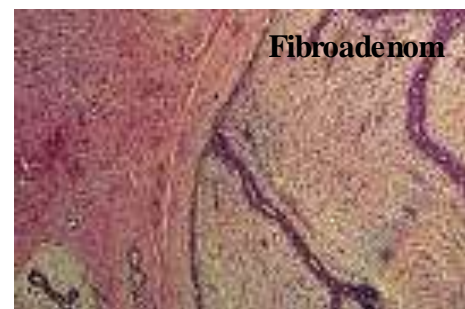
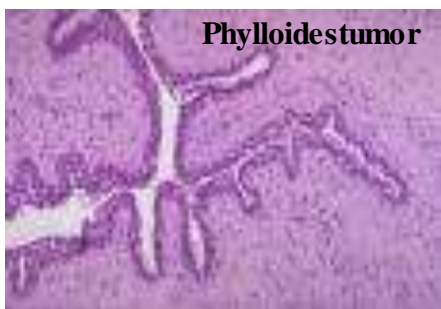
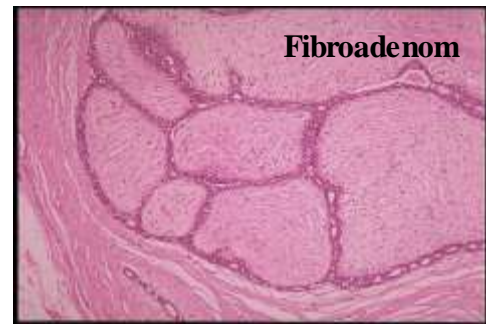
(Cystosarcoma phyllodes - überschiessender

Wachstum des Mesenchyms)

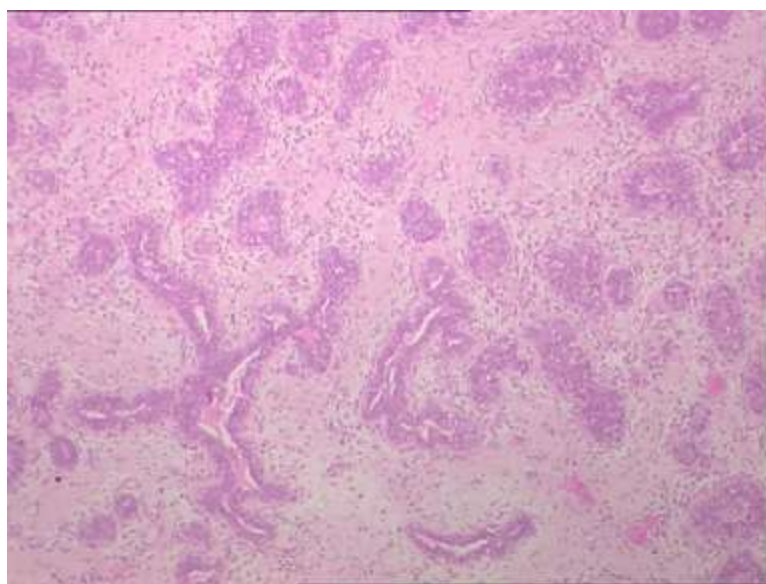


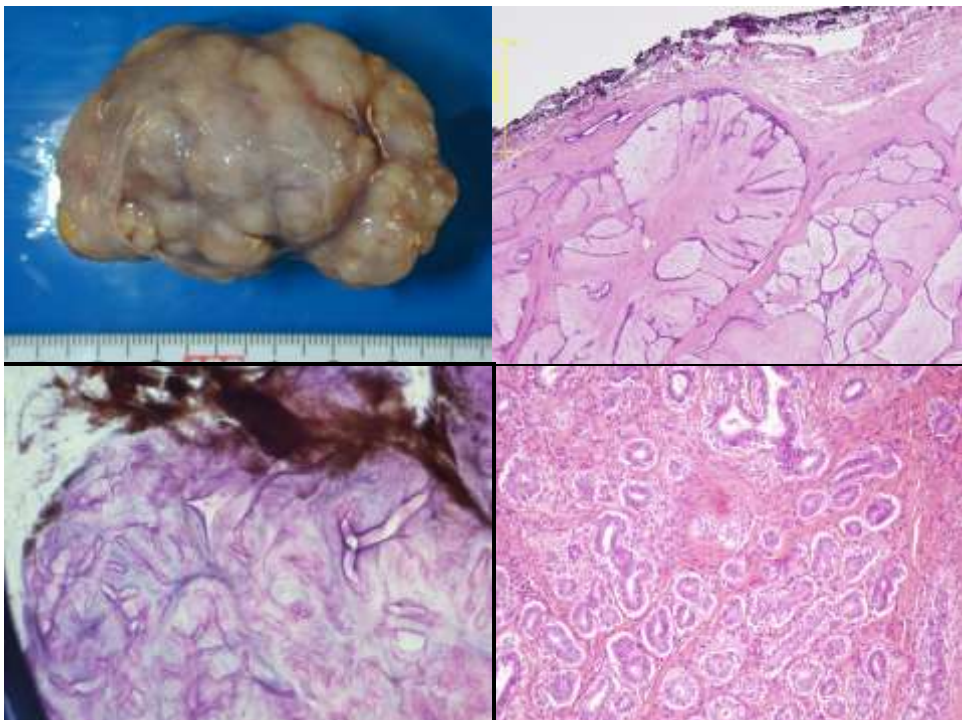
Mammographische Erscheinung



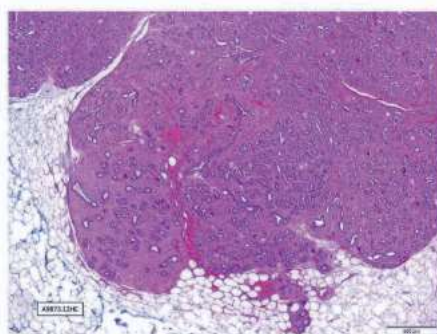


Juvenile Fibroadenom



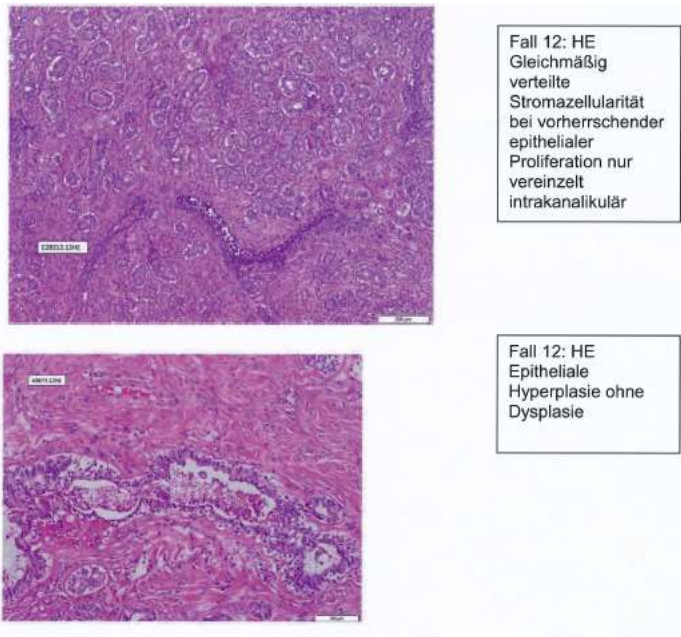


Juveniles Fibroadenom



Fall 12: HE
Glatt begrenztes
fibroepitheliales
Proliferat mit
vorherrschendem
periduktalen Muster

Juveniles Fibroadenom



Sonderformen	Eigenschaften	Besonderheiten	Implikationen
Zelluläres FA	Erhöhte homogen verteilte stromale Zeldichte, keine Atypien, Mitosen nur vereinzelt	Häufig vor dem 25. Lebensjahr, also früher als der Phyllodestumor	Abgrenzung vom Phyllodestumor kann an Stanzen sehr schwer werden
Tubuläres Adenom	Periductaler Typ mit sehr wenig Stomaproliferation		
Komplexes FA	FA mit sklerosierender Adenose, Zysten >3mm, Kalk, papilläre apokrine Hyperplasie	Kombination aus FA und fibroszystischer Mastopathie	Indikatorläsion mit gering gesteigertem Karzinomrisiko (x2)
Riesen-FA	5cm oder >500g	0,5%-2% aller FA, zumeist <25 J.	Abgrenzung vom Phyllodestumor
Juveniles FA	Kann sehr groß werden, geringe mitotische Aktivität möglich, homogene gesteigerte Zellularität, periduktales Wachstumsmuster	Können bis 20 cm groß werden, zumeist vor dem 25. Lebensjahr aber auch später	Größe und rasches Wachstum lassen an Phyllodestumor denken
FA mit bizarren Riesenzellen	Bizarre mehrkernige Ki-67 negative Riesenzellen im Stroma	Wahrscheinlich „ancient changes“ entsprechend	Abgrenzung stromaler Atypien beim Phyllodestumor
FA mit In Situ Karzinom	LIN (häufiger) oder DCIS in 0,5% aller FA		In ~ 50% auf das FA beschränkt: ADH kein erhöhtes Risiko
FA mit myxoidem Stroma	Starke mukoid Auflockerung der Interzellularsubstanz	Assoziation mit Carneys Komplex	Verwechslung mit Schleim bildenden Neoplasien bei Nadelbiopsie

PHYLLODESTUMOR

Alter: < 45 Jahre

Gross, es verursacht Distorsion

Kombiniert: epithelialer und Bindegeweblicher
Tumor

Eigenschaften:

hyperzellulares Stroma

Neigung zu Rekurrenz

MALIGNANTER PHYLLODES TUMOR

„soft tissue“- Weichteil-Tumor: MFH,
Fibrosarkom, usw.

WHO

Rosen und andere

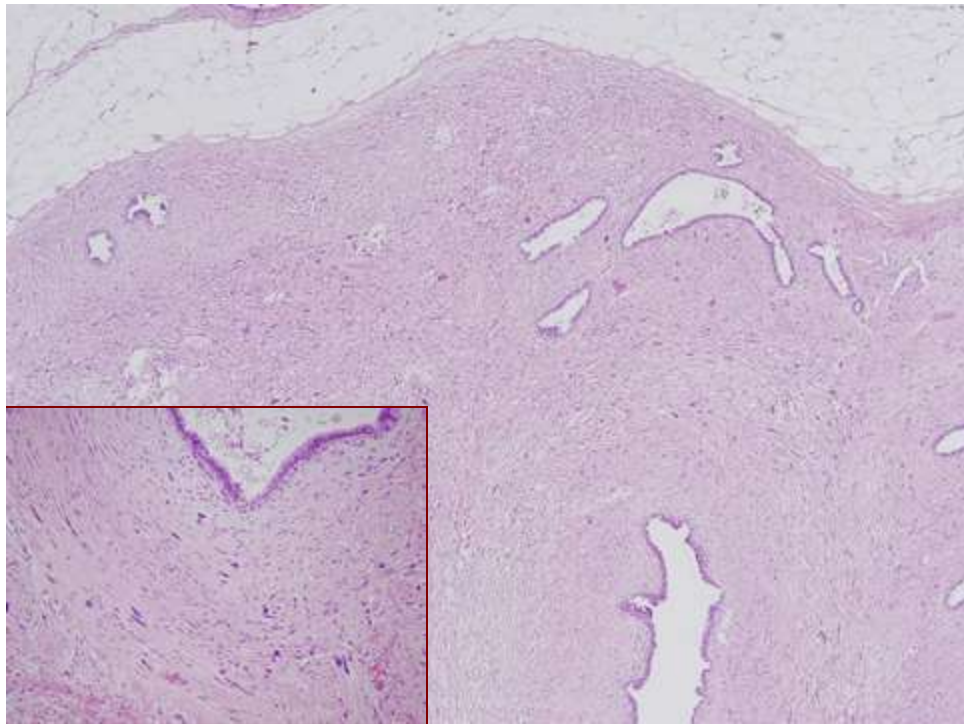
- | | |
|--------------|------------|
| • Benign | Benign |
| • Borderline | Low grade |
| • Malignant | High grade |

Taf. 3 Unterteilung der Proliferationszonen

	Rechte RGSU3	Links DgRGSU ausgegraben RGSU3	Links RGSU3
frontale und laterale	0,7 Millimeter (1 mm) Unterdruckzone, verlangsamt Wachstum der linken Hirnrinde-Areale Mäßige intrazere- brale Angiome	3-5 Millimeter (2-10 mm) Unterdruckzone, verlangsamt Wachstum der linken Hirnrinde-Areale Mäßige intrazere- brale Angiome	ca. 10 Millimeter (10 mm) Überdruckzone verlangsamt Wachstum der linken Hirnrinde-Areale Mäßige intrazere- brale Angiome
mittlere und mediale	1-2 Millimeter (3-4 mm) Unterdruckzone, verlangsamt Wachstum reißförmige Hirnparenchym- gegen die rechte Hirnrinde Zirkularität ohne Überwölften	ungefähr gleich Mäßig intrazere- brale Angiome	ca. 10 Millimeter (10 mm) Überdruckzone verlangsamt Wachstum (Nur ca. 7- Zentimeter)
posteriore	<0,5 Millimeter (0,5 mm) Unterdruckzone, verlangsamt das Wachstum keine oder geringe intrazere- brale Angiome Geringe räumliche oder topografische Ver- zerrungen	0-10 Millimeter (10 mm) Unterdruckzone, verlangsamt das Wachstum, mit geringer intrazerebraler Angiomatose geringe räumliche intrazerebrale Angiome Mäßig endothelial- plastisch oder endothelial-sarkomatous intrazerebrale Angiome	<0,5 Millimeter (1 mm) keine oder geringe intrazerebrale Angiome Zirkularität Hyperplastische Angiomatose zu einem breitwink- ligen Kranium Vergrößerung intrazerebraler
Koeffizient:	70%	18,2%	2%
Lokalisationen:	8,12%	28,28%	63,60%
Rekonstruktionen:	0	0	100%
Pflanzende: Totzähne:	0,1%	0,0%	2%

1: über Ø 0,5 mm; 2: über Ø 1,0 mm





monophasisch keine Atypie	monophasisch mit Atypie
Metaplastisches Karzinom metaplastische Foci, Hämatoxylin	Metaplastisches Karzinom direkt Pfeilmarken über MG
Fibromatose diffuse Infiltrat, auch im Pfeil	Phyllodes Tumor durchw. mit fleischig myx. und interstit. Chondroblastenreiche zelluläre
Myofibroblastose proliferativ	Angiosarkom diffus, endotheliale Veränderung
Phyllodes Tumor verdeckt infiltrat, kein geringe atypie	Solide Sarkome Pleomorphen
PASH proliferative Histiozyte	Metastasen kompaktes halbgroß Melanom
SMZ gutartige elastomatische Kapsel	
Spindelfibroblastomyxomatose interdigitierende Linien	
Boschitzsche Tumoren Grenzdiffusionszone primärer	

Fall 14: HE
Metaplastische Karzinome

Fall 14: HE
Solide Sarkome

Fall 14: HE
Diffuse Hypertrophie mit zugespalteter
stroma

Sarkom der Mamma

Tabelle Fall 15: Immunphänotyp von Spindelzelltumoren der Mamma

	MuCA	SFT	MFR	SCL	Fibro-matose	nod.	Phyllodes	Tumor
ER	-/+	+	++	++	-	-	-	-/+
AR	+	+++	+++	++	-	-	-	-/+
CD10	+++	++	+	-/+	+	+	+	+
CD99	+	++	+++	++	+++	-	-	+
bcl2	-/+	+++	+++	++	-	-	-	-
CD34	-	+++	++	+++	-/+	-/+	++	+
S100	++	-/+	-	-/+	-	-	-	-/+
Desmin	+	-/+	++	-/+	++	-/+	-/+	-/+
sm-Aktin	++	+	+++	-	+++	+++	++	+
Pan-Keratin	+++	-/+	-	-	-	-	-	-/+
EMA	++	-/+	-	-	-	-	-	-
muköös	-	+	-	-	++	-	-	-/+
β -catenin								
besonderes		STATO Expression:			CTNNB1 Mutation:			

Abkürzungen:

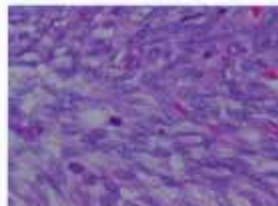
MuCA metastatisches Karzinom; SFT zellärer Rovater Tumor; MFR Myofibroblastom; SG Spindelzellgruppe; ER Oestrogenrezeptor; AR Androgenrezeptor

Legende:

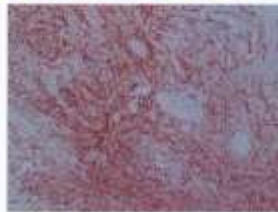
-/+ einzelne Fälle; + <10% der Fälle; ++ 10-50% der Fälle; +++ 50-70%; ++++ >70%



Fall 15. HE
Sarkom der Mamma



Fall 15. HE
Sarkom der Mamma



Fall 15. HE
Sarkom der Mamma